

## 05 Влияние лазерного предимпульса на генерацию сверхсильных магнитных полей в кластерной плазме

© А.А. Андреев<sup>1,3</sup>, Л.А. Литвинов<sup>1</sup>, К.Ю. Платонов<sup>2</sup>

<sup>1</sup> Санкт-Петербургский государственный университет, 199034 Санкт-Петербург, Россия

<sup>2</sup> Санкт-Петербургский политехнический университет Петра Великого, 195251 Санкт-Петербург, Россия

<sup>3</sup> ФТИ им. А.Ф. Иоффе РАН, 194021 Санкт-Петербург, Россия

e-mail: konstantin\_platonov@yahoo.com

Поступила в редакцию 13.10.2023 г.

В окончательной редакции 13.10.2023 г.

Принята к публикации 18.12.2023 г.

С помощью аналитических оценок и численного моделирования рассмотрена генерация сверхсильного магнитного поля в кластерной плазме в фокальной перетяжке интенсивного циркулярно-поляризованного лазерного импульса с контролируемым предимпульсом. Определены параметры предимпульса для получения максимальной амплитуды квазистационарного магнитного поля.

**Ключевые слова:** интенсивный лазерный импульс, лазерная кластерная плазма, сверхсильное магнитное поле.

DOI: 10.61011/OS.2023.12.57405.5657-23

### Введение

Как известно, в различных областях физики и астрофизики актуальны исследования способов генерации сверхсильных магнитных полей и влияния таких полей на свойства объектов [1]. В цикле работ [2–5] была рассмотрена генерация сверхсильных магнитных полей и гигантских магнитных моментов, базирующаяся на возбуждении интенсивных круговых электронных токов в кластерных газовых мишенях, облучаемых циркулярно-поляризованным ультракоротким лазерным импульсом релятивистской интенсивности.

Кластерные лазерные мишени являются предметом активных исследований настоящего времени [6]. Для генерации магнитного поля радиусы кластеров таких мишеней должны быть меньше длины волны лазерного излучения, чтобы круговые орбиты электронов располагались снаружи ионного остова кластера. В работах [2–5] предполагалось, что короткий интенсивный лазерный импульс не имеет предимпульса и профиль плотности ионного остова кластера является прямоугольным с заданным начальным значением радиуса (десятки и сотни нанометров) и твердотельной плотностью. При экспериментальной реализации ультракоротких (десятки фемтосекунд) лазерных импульсов релятивистской интенсивности им предшествует предимпульс длительностью в десятки и сотни пикосекунд. Современная лазерная техника позволяет увеличить значение отношения максимальной интенсивности импульса и предимпульса, называемое контрастом, до величины  $K \leq 10^{10}$  [7], но не может полностью убрать его ( $K = \infty$ ). Для кластеров малых радиусов и ультравысоких лазерных интенсивностей ( $\leq 10^{22}$  W/cm<sup>2</sup>) даже рекордные значения контраста, приводящие к интенсивности предимпуль-

са  $< 10^{12}$  W/cm<sup>2</sup>, могут оказать влияние на профиль плотности образующегося перед приходом основного импульса плазменного кластера [8,9]. В самом неоптимальном случае слабого контраста кластеры успеют нагреться и разлететься до прозрачного состояния (плотность упадет ниже критической) еще до прихода основного импульса, что снизит его поглощение и связанную с ним передачу момента импульса от лазерного излучения к электронам. Коэффициент поглощения (фактически коэффициент передачи момента от циркулярно-поляризованного излучения электронам) зависит от плотности и радиуса кластера, соответственно подбором параметров предимпульса (интенсивности и длительности) можно, наоборот, добиться максимума поглощения и максимальной напряженности генерируемого магнитного поля.

В настоящей работе проведены аналитическое и численное исследования влияния параметров предимпульса на профиль плотности кластера газовой мишени, на коэффициент поглощения кластерной плазмы и на напряженность генерируемого квазистационарного магнитного поля. Определены оптимальные параметры мишени с учетом значения контраста интенсивного лазерного импульса.

### Воздействие лазерного предимпульса на кластер

Рассмотрим сферическую мишень постоянной массы, которая вначале подвергается воздействию предимпульса с интенсивностью  $I_{Lp}$  и длительностью  $t_{Lp}$ , а затем на нее воздействует основной импульс с интенсивностью  $I = KI_{Lp}$  при контрасте  $K$ . Начальную

концентрацию ионов плазмы мишени выбираем близкой к твердотельной:  $n_{i0} = 6 \cdot 10^{22} \text{ cm}^{-3}$ , а начальный профиль плотности — прямоугольным. Поглощение лазерного предимпульса плазмой в этом случае происходит главным образом по столкновительному механизму [10]. Численное моделирование взаимодействия золотого кластера с предимпульсами различной интенсивности ( $10^{12} - 10^{13} \text{ W/cm}^2$ ) и длительности (4–20 ps) проводилось с помощью гидродинамического кода [11]. Электронная температура во всем диапазоне параметров предимпульса была  $T_{eLp} \geq 5 \text{ eV}$ , и плазма разлеталась со скоростью, близкой к скорости ионного звука,  $c_s \approx \sqrt{Z_{Lp} T_{eLp} / m_i} \geq 2 \cdot 10^5 \text{ cm/s}$ , где  $m_i$  и  $Z_{Lp}$  — масса и заряд иона. Максимальная плотность  $n_{i \text{ max}}$  мишени уменьшалась при разлете со временем в соответствии с условием сохранения массы мишени:

$$n_{i \text{ max}}(t) \approx n_{i0} [R_{i0} / (R_{i0} + c_s t)]^3.$$

Так как использовался сравнительно короткий предимпульс, величина заряда иона плазмы определялась через вероятность (в единицу времени) туннельной ионизации атома мишени в электрическом поле лазерной волны [12], что давало среднее значение заряда иона  $Z_{Lp} \sim 2$ , которое и было использовано в дальнейших вычислениях. После взаимодействия с предимпульсом профиль плотности мишени был близок к трапеции, имеющей градиент плотности  $l_{fr} = \alpha c_s t_{Lp}$  ( $\alpha \leq 1$ ) и максимальную плотность  $n_{i \text{ max}} = n_{i0} [R_{i0} / (R_{i0} + c_s t_{Lp})]^3$ . Гидродинамические расчеты показали, что при различных коэффициентах поглощения ( $\eta_{Lp} < 0.8$ ) лазерного излучения предимпульса разлет 100 nm Au-кластера менее, чем на 20% (т.е. увеличение радиуса на 20% и соответствующее уменьшение плотности), достигается при интенсивности предимпульса  $\leq 10^{12} \text{ W/cm}^2$  и длительности  $\leq 8 \text{ ps}$ . Дальнейшие 3D-расчеты взаимодействия кластера с основным импульсом по PIC-коду EPOCH [13] показали, что такой разлет кластера не сказывается на величине генерируемого магнитного поля, и предимпульсы с параметрами, удовлетворяющими условию  $I_{Lp} t_{Lp} \leq 8 \cdot 10^{12} \text{ W}\cdot\text{ps/cm}^2$ , не влияют на дальнейшее взаимодействие субмикронных золотых кластеров с основным импульсом. При нарушении этого условия радиус кластера растет, плотность падает и предимпульс начинает влиять на напряженность генерируемого магнитного поля.

Для количественного описания этого влияния в аналитической модели будем рассматривать профиль плотности плазмы кластера, формирующийся под действием лазерного предимпульса, вначале в виде прямоугольника изменяющейся ширины  $2R_0$  и высоты  $n_i$  с постоянной массой, когда  $n_{i0} = n_{i0} [R_{i0} / R_0]^3$ . Отметим, что замена трапециoidalного профиля прямоугольным оправдана рассматриваемыми малыми начальными радиусами кластера ( $R_{i0} \sim 100 \text{ nm}$ ), поскольку уже при разлете до  $R_0 \sim 5R_{i0}$  плотность упадет ниже критической и поглощение значительно снизится, что не оптимально

для генерации магнитного поля. Соответственно масштаб наклонных частей трапеции в рассматриваемом диапазоне будет меньше длины лазерной волны, и трапециoidalный профиль плотности можно заменить усредненным по радиусу прямоугольным профилем.

Под действием предимпульса происходит ионизация и нагрев кластера, а также часть электронов покидает кластер, в результате чего кластер приобретает заряд. Из работы [14], позволяющей оценить заряд кластера  $Q_{Lp}$  при заданной напряженности поля предимпульса  $E_{Lp} = \sqrt{4\pi I_{Lp} / c}$ , получаем, что для  $R_{i0} = 100 \text{ nm}$  кластера твердотельной плотности при  $I_{Lp} = 10^{12} \text{ W/cm}^2$  заряд получается очень малым,

$$k = 3Q_{Lp} / 4\pi Z_{Lp} e n_{i0} R_{i0}^3 \approx 2 \cdot 10^{-4},$$

по отношению к заряду ионного остова. Температуру  $T_{eLp}$  нагрева кластера предимпульсом можно оценить по формуле [15]

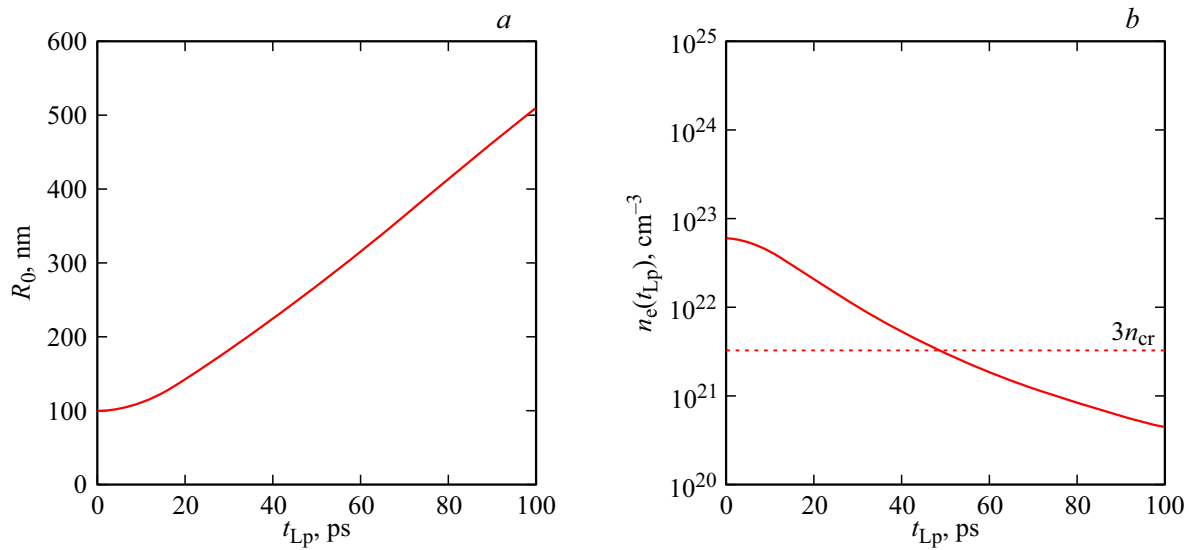
$$T_{eLp} \approx \frac{m_i}{Z_{Lp}} \left( \frac{\eta_{Lp} I_{Lp}}{\rho_0} \right)^{2/3},$$

где  $\rho_0$  — начальная плотность мишени,  $\eta_{Lp}$  — коэффициент столкновительного поглощения предимпульса. Для Au<sup>+2</sup>-мишени твердотельной плотности при  $I_{Lp} = 10^{12} \text{ W/cm}^2$  и  $\eta_{Lp} \approx 0.2$  получаем  $T_{eLp} \sim 50 \text{ eV}$  и скорость иона золота  $v_i = \sqrt{Z_{eLp} T_{eLp} / m_i} \approx 5 \cdot 10^5 \text{ cm/s}$ . Под действием кулоновских сил и теплового давления кластер разлетается во время предимпульса.

В Приложении построена аналитическая модель разлета нагретого заряженного кластера, позволяющая оценить радиус  $R_0(t_{Lp})$  и плотность электронов  $n_e(t_{Lp})$  в момент окончания предимпульса и использовать эти оценки для дальнейшего моделирования взаимодействия частично разлетевшегося кластера с основным лазерным импульсом. На рис. 1 приведены построенные по формуле (П5) Приложения зависимости радиуса  $R_0$  и плотности  $n_e$  от длительности предимпульса  $t_{Lp}$  для золотого кластера радиуса  $R_{i0} = 100 \text{ nm}$  под воздействием  $10^{12} \text{ W/cm}^2$  предимпульса при скорости разлета кластера  $c_{sQ} = 5 \cdot 10^5 \text{ cm/s}$ . Рисунок 1 показывает, что с помощью изменения длительности предимпульса можно менять электронную плотность  $n_e(t_{Lp})$  кластера в широком диапазоне, начиная с характерной твердотельной  $6 \cdot 10^{22} \text{ cm}^{-3}$  до порога прозрачности  $n_{cr} \approx 10^{21} \text{ cm}^{-3}$  для излучения с длиной волны  $\lambda_L \sim 1 \mu\text{m}$ .

### Поглощение основного циркулярно-поляризованного лазерного импульса кластером

Напряженность генерируемого основным импульсом магнитного поля [16] зависит от интенсивности  $I$  основного лазерного импульса, его длительности  $\tau_L$ , радиуса кластера  $R_0(t_{Lp})$  и коэффициента поглощения  $\eta$ , зависящего в свою очередь от плотности  $n_e(t_{Lp})$ . Коэффициент поглощения  $\eta$  линейно-поляризованного излучения



**Рис. 1.** Зависимости (а) радиуса  $R_0$  (в нм), (б) плотности  $n_e$  (в  $\text{см}^{-3}$ ) от длительности предимпульса  $t_{LP}$  (в пс) для  $\text{Au}^{+1}$ -кластера с начальным радиусом  $R_{10} = 100$  нм под воздействием предимпульса с интенсивностью  $I_{LP} = 10^{12}$   $\text{W}/\text{cm}^2$  ( $c_{sQ} = 5 \cdot 10^5$   $\text{cm}/\text{s}$ ).

нанокластером рассматривался в работах [10,17–19]. Основным механизмом поглощения интенсивного лазерного импульса кластером является резонансное бесстолкновительное поглощение [17]. Как известно, при смещении электронов кластера с плотностью  $n_e(t_{LP})$  относительно ионного остова между электронной оболочкой и ионным остовом возникает возвращающее амбиполярное поле, в результате чего под действием электрического поля лазерной волны возникают колебания электронной оболочки относительно ионного остова. Колебательный процесс имеет резонансный характер, и при совпадении частоты лазерной волны  $\omega$  с собственной частотой  $\omega_{pe}/\sqrt{3}$  ( $\omega_{pe}^2 = 4\pi e^2 n_e(t_{LP})/m_e$  — плазменная частота электронов кластера) колебаний сферической электронной оболочки происходит нарастание амплитуды колебаний электронов и поглощаемой кластером энергии лазерного поля. Резонансное условие  $\omega = \omega_{pe}/\sqrt{3}$  может выполняться, поскольку уменьшение плотности кластера, показанное на рис. 1, начинается уже по время действия лазерного предимпульса, и отношение  $\omega_p/\omega \sim 10\sqrt{Z}$ , справедливое для твердотельных значений концентрации электронов под действием предимпульса, падает вплоть до резонансного  $\omega_p/\omega \sim \sqrt{3}$ . Подбором длительности предимпульса  $t_{LP}$  и его интенсивности  $I_{LP}$  в формулах (П5) можно получить резонансное значение плотности кластера

$$n_e(t_{LP}) = 3m_e\omega^2/4\pi e^2 = 3n_{cr}$$

(штриховая горизонтальная линия на рис. 1, б) для прямоугольного профиля плотности. В работе [10] с помощью линеаризованного уравнения движения электрона

кластера был получен коэффициент поглощения

$$\eta_l(n_e(t_{LP})) = \eta_{\max} \frac{\Gamma_s}{(\omega_{pe}^2/\omega^2 - 3)^2 + \Gamma_s}, \quad \Gamma_s = 9 \frac{v_{ei}\omega_{pe}}{2\omega^2}, \quad (1)$$

достигающий максимального значения  $\eta_{\max}$  на резонансной частоте  $\omega = \omega_{pe}/\sqrt{3}$ . Полуширина частотного распределения коэффициента поглощения определяется частотой  $v_{ei}$  электрон-ионных столкновений, приводящих к диссипации поглощенной электронами энергии.

Полученный с помощью линеаризованных уравнений движения электрона коэффициент поглощения (1) предполагает малость безразмерной амплитуды лазерного поля:  $a_0 = eE_0/m_e\omega c \ll 1$ . Для генерации сверхсильных магнитных полей нужны лазерные поля ультрарелятивистской напряженности ( $a_0 \gg 1$ ), для которых формула (1) для коэффициента поглощения нуждается в модификации. При высокой температуре  $T_e$  электронов кластера во время действия основного импульса частота столкновений ( $v_{ei} \sim T_e^{-3/2}$ ) быстро уменьшается, столкновительное поглощение становится малым и резонанс в формуле (1) узким. В работе [17] показано, что для коротких (единицы периодов) лазерных импульсов в уравнении движения электронов нужно учитывать временной профиль огибающей импульса. Также поле волны реального лазерного импульса имеет квадратичную поправку к фазе волны:  $\omega \rightarrow \omega + \dot{\omega}t$ . Учет конечной длительности импульса  $\tau_L$  и  $\omega$  [17], а также нелинейных бесстолкновительных диссипативных процессов приводит в ультрарелятивистском случае к формированию эффективной частоты столкновений,  $v_{ei} \rightarrow v_{ef}$  ограничивающей амплитуду колебаний электронов в резонансе. Плазменная частота электронов при ультрарелятивистских энергиях зависит от лоренц-фактора электронов

$$\gamma \approx \sqrt{1 + a_0^2};$$

$$\omega_{pe}^2(a_0) = 4\pi e^2 n_e(t_{Lp}) / \gamma m_e.$$

Резонанс на частоте лазерного импульса при определенной плотности кластера и напряженности лазерного поля  $a_0$  ( $\omega = \omega_{pe}(a_0) / \sqrt{3}$ ) должен остаться, однако в релятивистском случае дополнительный резонанс возможен и на удвоенной лазерной частоте ( $2\omega = \omega_{pe} / \sqrt{3}$ ), с которой меняется сила пондеромоторного давления. В зависимости от ширины резонанса ( $v_{ef} \ll \omega$ ,  $v_{ef} \gg \omega$ ) резонансы могут проявляться по отдельности или сливаться в один. Помимо резонансного механизма поглощения для кластера с резкой границей и высокой начальной плотностью работает механизм поглощения, аналогичный механизму Брюнеля [20,21], что добавляет слагаемое  $\eta_0$  к резонансному коэффициенту поглощения. С учетом вышесказанного суммарный коэффициент поглощения кластера  $\eta_\Sigma$  в случае релятивистских напряженностей лазерного поля можно записать в следующем виде:

$$\eta_\Sigma(n_e(t_{Lp}); I) \approx \eta_0(n_e; I) + \eta_{\max}(n_e; I) \frac{\Gamma_n}{(\omega_{pe}^2 / \omega^2 - \mu)^2 + \Gamma_n},$$

$$\Gamma_n = 9 \frac{v_{ef}(n_e; I) \omega_{pe}}{2\omega^2},$$

$$\omega_{pe}^2 = 4\pi n_e(t_{Lp}) e^2 / \gamma m_e, \quad 3 \leq \mu \leq 12. \quad (2)$$

Здесь величины  $\eta_0(n_e; I)$ ,  $\eta_{\max}(n_e; I)$ ,  $v_{ef}(n_e; I)$  определяются, используя стандартную степенную зависимость:

$$\eta_{0, \max}(n_e; I) = \eta_{0, \max}(n_{en})^{\alpha_{1,3}} (I_n)^{\alpha_{2,4}},$$

$$v_{ef}(n_e; I) = v_{ef}(n_{en})^{\alpha_5} (I_n)^{\alpha_6},$$

$$I_n = \frac{I}{10^{20} \text{ W/cm}^2}, \quad n_{en} = \frac{n_e}{Z \cdot 3 \cdot 10^{22} \text{ cm}^{-3}},$$

$$10^{21} \text{ cm}^{-3} < n_e < 10^{24} \text{ cm}^{-3}, \quad 0.1 < I_n < 10^3, \quad (3)$$

где константы  $\eta$ ,  $\eta_{\max}$ ,  $v_{ef}/\omega$  и показатели степеней  $\alpha_1 - \alpha_6$  определяются из данных численного моделирования.

На рис. 2 приведены данные численного моделирования зависимости коэффициента поглощения  $\text{Au}^{+30}$ -кластера радиуса  $R_0 = 200 \text{ nm}$  от его начальной ионной плотности  $n_i = n_e/Z$  ( $Z = 30$ ) и лазерной интенсивности  $I$ . Рис. 2, *b* подтверждает сохранение резонансного по плотности кластера характера поглощения в ультрарелятивистском случае ( $a_0 \approx 85$  при  $I = 10^{22} \text{ W/cm}^2$ ). Красными линиями на рис. 2 показаны теоретические кривые 2 для параметров степенного скейлинга:  $\eta_0 = 0.11$ ,  $\mu = 9$ ,  $\eta_{\max} = 0.4$ ,  $\alpha_{1,2,3,5,6} = 0$ ,  $\alpha_4 = 0.13$ ,  $v_{ef}/\omega = 2.5$ . Значительные значения эффективной частоты столкновений  $v_{ef}/\omega = 2.5$  и  $\mu = 9$  соответствуют слиянию обычного и пондеромоторного резонансов в один и сохранению в ультрарелятивистском случае одного максимума коэффициента поглощения по плотности кластера.

## Магнитное поле кластера

В работе [16] подробно исследуется динамика электронной оболочки кластера и показано, что амплитуда магнитного поля  $H$  одиночного кластера линейно растет со временем на интервале действия основного лазерного импульса, достигая максимума к моменту его окончания:

$$\frac{H(t)}{E_0} \approx \frac{\eta_\Sigma a_0 c t}{4r_E (1 + a_0^2)^{1/2}}, \quad t \in [0; \tau_L]. \quad (4)$$

Здесь  $\eta_\Sigma$  — коэффициент поглощения основного импульса, показанный на рис. 2, а характерный радиус орбит электронов кластера в (4) оценивается как  $r_E = CR_0$ , где  $C \approx 3$ . Более точное значение ( $2 \leq C \leq 5$ ) определяется численным моделированием и зависит от лазерной интенсивности, радиуса и плотности кластера. Для того чтобы электроны удерживались ионным остовом кластера, возникающий в результате частичной экстракции электронов основным лазерным импульсом заряд  $Q$  кластера должен удовлетворять неравенству

$$m_e c^2 \left( \sqrt{1 + a_0^2} - 1 \right) < \frac{eQ}{r_E}$$

(кинетическая энергия меньше потенциальной). Величина заряда  $Q$  растет с увеличением лазерной интенсивности как  $\sqrt{I}$  и не может превысить суммарный заряд ионного остова кластера  $4\pi R_{i0}^3 Z n_{i0} / 3$ . В результате безразмерная амплитуда лазерного поля  $a_0$  должна удовлетворять условию [4]

$$a_0 < a_{ir} \approx \frac{4\pi \eta_\Sigma e^2 \omega}{9 m_e c^3} Z n_{i0} R_0^3 > 1.$$

При превышении величины  $a_{ir}$  магнитное поле кластера начнет резко падать с ростом  $a_0$ , так как ионный остов не в состоянии удержать все поглотившие лазерную энергию электроны на финитных орбитах. Отметим, что пороговое лазерное поле отличается от поля, необходимого для „кулоновского взрыва“ кластера (полного удаления электронов из кластера)

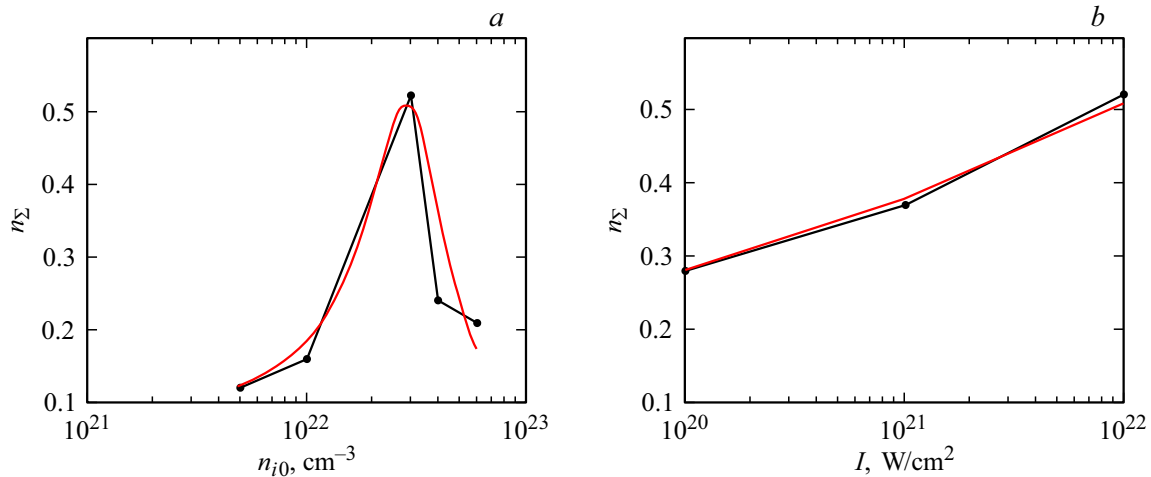
$$a_{Ql} \approx \frac{2}{3} Z n_{i0} e^2 R_{i0} \lambda / m_e c^2.$$

Отношение  $a_{ir}/a_{Ql} \approx 4\pi^2 \eta_\Sigma R_0^2 / 3\lambda^2 < 1$  при  $R_0 < \lambda$ . После окончания лазерного импульса ( $t > \tau_L$ ) магнитное поле начинает спадать во времени из-за адиабатического разлета кластера, нагретого основным импульсом [4]:

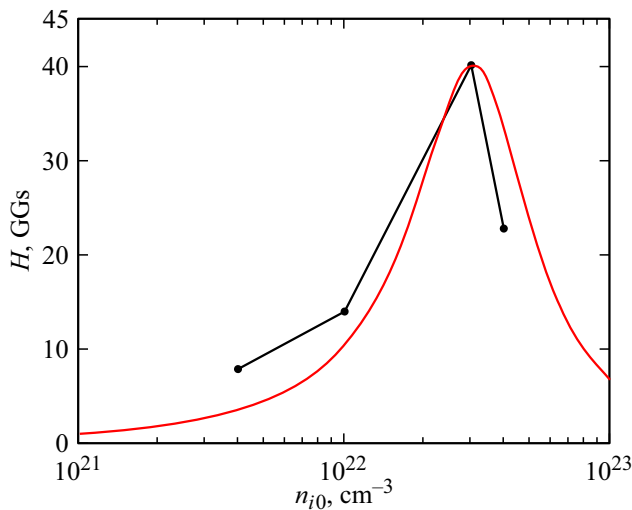
$$H(t) = H(\tau_L) (R_0/R(t))^3,$$

$$R(t) \approx \sqrt{R_0^2 + Z m_e c^2 (t - \tau_L)^2 ((1 + a_0^2)^{1/2} - 1/m_i)}, \quad t \geq \tau_L. \quad (5)$$

Поскольку  $\eta_\Sigma$  и  $R_0$  определяются параметрами предимпульса, оценка магнитного поля кластера (4) также оказывается зависящей от параметров предимпульса через значение электронной  $n_e(t_{Lp})$  (ионной



**Рис. 2.** (а) Коэффициент поглощения кластера в зависимости от начальной ионной плотности кластера при  $I = 10^{22} \text{ W/cm}^2$ ,  $R = 200 \text{ nm}$ . (б) Коэффициент поглощения кластера в зависимости от интенсивности лазерного импульса в пике при  $n_{i0} = 3 \cdot 10^{22} \text{ cm}^{-3}$ ,  $R = 200 \text{ nm}$ . Черные точки — численное моделирование. Красные линии — формула (3).



**Рис. 3.** Максимум квазистационарного магнитного поля в зависимости от начальной ионной плотности  $n_i = n_e(t_{Lp})/Z_{Lp}$  кластера при  $I = 10^{22} \text{ W/cm}^2$ ,  $R = 200 \text{ nm}$ . Черные точки — PIC-расчет. Красная кривая — аналитическая зависимость (5) при коэффициенте поглощения (4).

$n_i(t_{Lp}) = n_e(t_{Lp})/Z$  плотности на момент окончания предимпульса.

На рис. 3 красной кривой приведена зависимость (5) амплитуды магнитного поля  $H(\tau_L)$  кластера с  $R_{i0} = 200 \text{ nm}$  от плотности ионов  $n_i(t_{Lp})$  на момент окончания предимпульса для интенсивности основного лазерного импульса  $I = 10^{22} \text{ W/cm}^2$ . Рис. 3 показывает, что резонансный по плотности характер коэффициента поглощения на рис. 2 приводит к аналогичной зависимости амплитуды магнитного поля. Поскольку при рассматриваемых лазерных интенсивностях плазменный резонанс достигается при значениях ионной плотности  $3 \cdot 10^{22} \text{ cm}^{-3}$ , близких к начальной плотности

кластера  $5.9 \cdot 10^{22} \text{ cm}^{-3}$ , увеличение радиуса, необходимое для достижения резонансной плотности небольшое:  $R_0 = R_{i0}(5.9/3)^{1/3}$ . Эффективный радиус электронной орбиты  $r_{\Sigma} = CR_0$  в формуле (4) практически не меняется в окрестности резонансной плотности, и зависимость магнитного поля от плотности практически повторяет зависимость от плотности коэффициента поглощения (2). Отметим, что максимальное квазистационарное магнитное поле амплитудой в 40 GGs существенно превышает амплитуду магнитного поля лазерной волны 6.5 GGs, соответствующую лазерной интенсивности  $10^{22} \text{ W/cm}^2$ .

Для проверки аналитических оценок коэффициента поглощения и магнитного поля, а также для нахождения констант скейлинга  $\eta_{\max}(n_e; I)$ ,  $v_{ef}(n_e; I)$ , было проведено 3D PIC-моделирование (код EPOCH [13]) разлета  $\text{Au}^{+30}$ -кластеров с радиусами 50, 100, 200 nm при облучении 10 fs циркулярно-поляризованным лазерным импульсом в диапазоне интенсивностей от  $10^{20}$  до  $10^{22} \text{ W/cm}^2$ , распространяющимся вдоль оси  $x$ . Кластер находился в центре бокса моделирования:  $x = y = z = 0$ . Размеры бокса моделирования были  $4 \times 4 \times 4 \mu\text{m}$ , он был разбит на  $400 \times 400 \times 400$  ячеек по осям  $x, y$  и  $z$ , максимальное число частиц в ячейке было 200 для электронов и 40 для ионов. Разлет кластера под действием предимпульса учитывался начальным значением ионной плотности кластера, которая менялась в диапазоне от  $6 \cdot 10^{22} \text{ cm}^{-3}$  (отсутствие предимпульса, твердотельная плотность мишени) до  $4 \cdot 10^{21} \text{ cm}^{-3}$  (разлетевшийся за время предимпульса кластер).

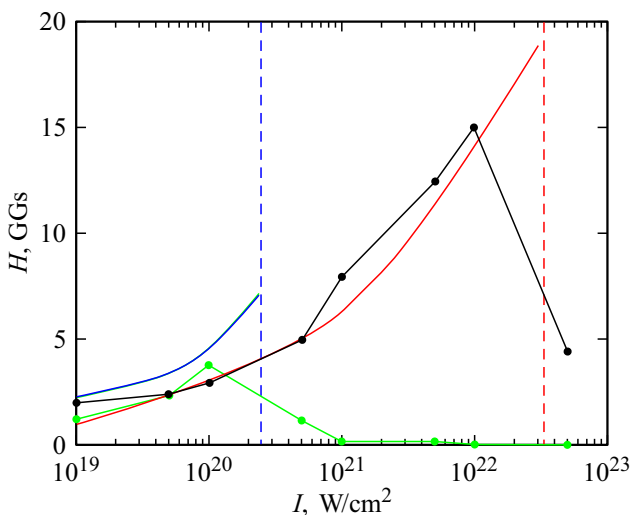
На рис. 3 приведена зависимость максимального (по пространству и времени моделирования) значения квазистационарного магнитного поля в зависимости от начальной ионной плотности кластера при  $I = 10^{22} \text{ W/cm}^2$ ,  $R_{i0} = 200 \text{ nm}$ . Полученные результаты моделирования показывают наличие оптимума ионной плотности отно-

сительно максимального значения генерируемого магнитного поля. Оптимум плотности  $n_i^* \approx 3 \cdot 10^{22} \text{ cm}^{-3}$  (при лазерной интенсивности  $10^{22} \text{ W/cm}^2$ ) соответствует плазменной частоте

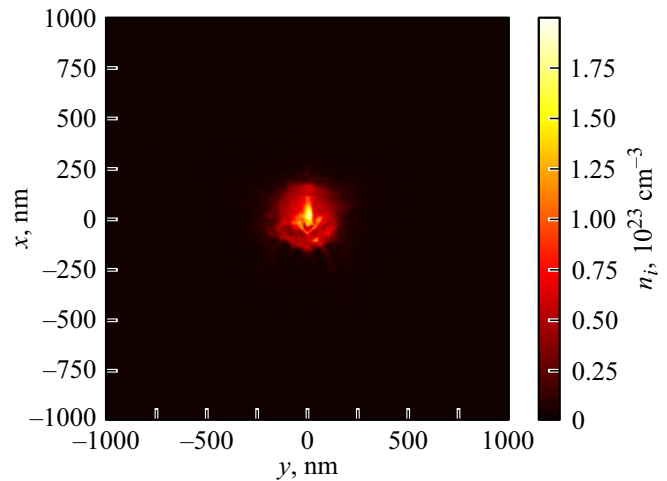
$$\omega_{pe}^2 = 4\pi Z n_i^* e^2 / m_e (1 + a_0^2)^{1/2}$$

электронов кластера, попадающей в резонансный интервал  $3\omega^2 < \omega_{pe}^2 < 12\omega^2$  сил электрического поля и пондеромоторного давления. Объединение пиков поглощения обычного и пондеромоторного резонансов приводит к широкому пику рис. 3.

Так как плазменная частота в резонансном коэффициенте поглощения (2) зависит от отношения  $n_e(t_{LP})/a_0 \sim n_e(t_{LP})/\sqrt{I}$ , помимо зависимости от плотности существует аналогичная зависимость амплитуды магнитного поля от лазерной интенсивности, построенная на рис. 4 по формуле (4) синей и красной кривыми для фиксированной плотности кластера  $6 \cdot 10^{22} \text{ cm}^{-3}$  и радиусов кластера 50 и 200 nm соответственно. Вертикальными пунктирными линиями приведены соответствующие радиусам кластера пороговые интенсивности (соответствующие амплитуде  $a_{lr}$ ), выше которых формула (4) теряет применимость. Черными и зелеными точками показаны данные PIC-моделирования. Магнитные поля напряженностью в десятки GGs на рис. 3 и 4 приводят к замагниченности и повышению плотности ионов во внутренней области кластера. На рис. 5 показано распределение ионной плотности для 200 nm кластера плотностью  $n_i = 6 \cdot 10^{22} \text{ cm}^{-3}$  при лазерной интенсивности  $10^{22} \text{ W/cm}^2$ , когда, согласно рис. 4, генерируется магнитное поле максимальной амплитудой  $\sim 15 \text{ GGs}$ .



**Рис. 4.** Максимальное магнитное поле (5) в зависимости интенсивности основного лазерного импульса при  $R = 200 \text{ nm}$  (красная линия),  $R = 50 \text{ nm}$  (синяя линия). Плотность  $n_i = 6 \cdot 10^{22} \text{ cm}^{-3}$ . Черные кружки — PIC-расчет для радиуса 200 nm, зеленые — для 50 nm. Вертикальными штриховыми линиями приведены пороги, соответствующие предельной амплитуде  $a_{lr}$  кластеров с радиусами 50 и 200 nm.



**Рис. 5.** Ионная плотность в плоскости  $xy$  (лазерное излучение распространяется по оси  $x$ ) и диаметрального сечении ( $z = 0$ ) кластера в момент окончания лазерного импульса при  $R = 200 \text{ nm}$ ,  $n_i = 6 \cdot 10^{22} \text{ cm}^{-3}$ ,  $I = 10^{22} \text{ W/cm}^2$ .

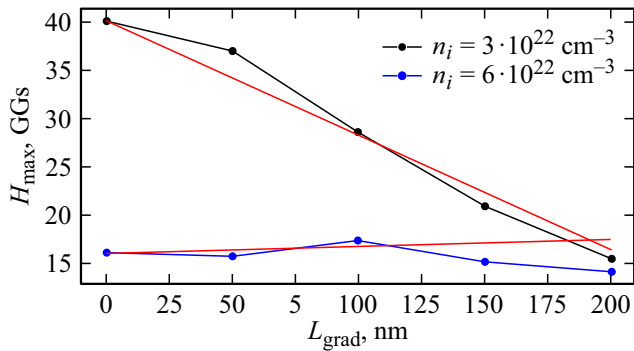
В центре кластера радиусом 200 nm видна веретенообразная область, где ионная плотность достигает значения  $2 \cdot 10^{23} \text{ cm}^{-3}$  при начальной плотности  $6 \cdot 10^{22} \text{ cm}^{-3}$ . Такое повышение плотности объясняется магнитным сжатием центральной области кластера.

Таким образом, численное моделирование подтверждает теоретические оценки высокого поглощения кластера, и при калибровке констант аналитической модели по численным данным модель хорошо соответствует численным зависимостям амплитуды магнитного поля от параметров кластера и лазерного импульса.

Для проверки корректности использования прямоугольного профиля плотности кластера было проведено моделирование амплитуды магнитного поля для кластера с профилем ионной плотности в виде трапеции:

$$n_i(r) = \begin{cases} n_i(R_0 - r)/L, & R_0 - L \leq r \leq R_0, \\ n_i, & 0 \leq r \leq R_0 - L, \end{cases}$$

показанным на рис. 6. Из рис. 6 следует, что для резонансной ионной плотности  $n_i = 3 \cdot 10^{22} \text{ cm}^{-3}$  размытие границ кластера снижает коэффициент поглощения и напряженность магнитного поля, поскольку возникающие области меньшей плотности не соответствуют условию резонанса. Однако, как следует из поведения черной кривой на рис. 6, для проявления эффекта снижения масштаб неоднородности  $L$  должен превышать половину начального радиуса кластера. При  $L < 0.3R_0$  пространственная неоднородность плотности заметно не влияет на величину магнитного поля даже в резонансном случае. При контрасте  $10^{10}$  (интенсивности предимпульса  $10^{12} \text{ W/cm}^2$  при интенсивности основного импульса  $10^{22} \text{ W/cm}^2$ ) такой масштаб неоднородности при гидродинамическом моделировании возникает при длительности предимпульса  $\sim 10 \text{ ps}$ . При отсутствии



**Рис. 6.** Квазистационарное магнитное поле в зависимости от масштаба неоднородности трапециевидного профиля плотности кластера, число частиц постоянное и отвечает числу частиц для прямоугольного профиля при  $R_0 = 200$  nm, черная кривая соответствует  $n_i = 3 \cdot 10^{22}$  cm $^{-3}$ , синяя кривая —  $n_i = 6 \cdot 10^{22}$  cm $^{-3}$ . Красные линии соответствуют аналитической модели (5), (7).  $I = 10^{22}$  W/cm $^2$ .

резонанса (синяя кривая на рис. 6) влияние градиента плотности на величину магнитного поля практически отсутствует вплоть до  $L \sim R_0$ . Аналитическая оценка зависимости коэффициента поглощения и магнитного поля от масштаба неоднородности может быть получена из формулы (2), в которой плазменная частота электронов станет функцией  $r$ ,  $\omega_{pe} \rightarrow \omega_{pe}(r)$ . Проводя затем усреднение по  $r$  согласно формуле

$$\langle \eta_{\Sigma} \rangle = R_0^{-1} \int_0^{R_0} \eta_{\Sigma}(r) dr,$$

можно поучить аналитическую зависимость коэффициента поглощения от масштаба неоднородности ионной плотности:

$$\begin{aligned} \langle \eta_{\Sigma}(n_e(t_{Lp}); I; L) \rangle &\approx \eta_0(n_e; I) + (1 - L/R_0) \eta_{\max}(n_e; I) \\ &\times \frac{9 v_{ef}(n_e; I) \omega_{pe}}{2 \omega^2} + \frac{3 L \omega v_{ef}^{1/2}(n_e; I)}{\sqrt{2} R_0 \omega_{pe}^{3/2}} \\ &\times \left[ \arctg \frac{\sqrt{2} \omega (\omega_{pe}^2 / \omega^2 - \mu)}{3 v_{ef}^{1/2}(n_e; I) \omega_{pe}^{1/2}} + \arctg \frac{\sqrt{2} \omega \mu}{3 v_{ef}^{1/2}(n_e; I) \omega_{pe}^{1/2}} \right]. \end{aligned} \quad (6)$$

Формула (4) с коэффициентом поглощения (6) позволяет построить аналитическую зависимость амплитуды магнитного поля от масштаба неоднородности, показанную на рис. 6 красными линиями для резонансной плотности  $3 \cdot 10^{22}$  cm $^{-3}$  и плотности выше резонансной,  $6 \cdot 10^{22}$  cm $^{-3}$ . Сравнение резонансного и нерезонансного значений плотности на рис. 6 показывает, что при плотности кластера выше резонансной заметно увеличить поглощение с помощью размытия границы и получения локального резонансного значения плотности не получается: удельный вес такой локальной области мал по сравнению с полным объемом кластера.

Подводя итоги численного и аналитического моделирования, можно отметить, что для достижения максимальной амплитуды магнитного поля, согласно (4), нужно увеличивать напряженность  $a_0$  лазерного поля и коэффициент поглощения  $\eta_{\Sigma}$ . При этом для заданного радиуса кластера в формуле (4) есть предел  $a_{tr}$  роста напряженности  $a_0$  лазерного поля и длительности  $\tau_L$  лазерного импульса (за время действия импульса характерный радиус  $r_E$  орбит электронов не должен заметно измениться). Собрав вместе эти требования, мы получим оценки оптимальных для генерации сверхсильного магнитного поля параметров мишени с учетом контраста интенсивного лазерного импульса:

$$\begin{aligned} \frac{n_e(t_{Lp})}{n_{cr}} &\approx 9 a_0 = 9 \left( \frac{I \lambda^2}{1.37 \cdot 10^{18} \text{ W}(\mu\text{m}^2/\text{cm}^2)} \right)^{1/2}, \\ I &> 10^{18} \text{ W/cm}^2, \quad a_0 \approx \eta_{\Sigma} \frac{n_e(t_{Lp})}{9 n_{cr}} \left( \frac{2 \pi R_0}{\lambda} \right)^3, \\ \frac{c \tau_L}{R_0(t_{Lp})} &\approx 4 \left( \frac{m_i}{Z m_e a_0} \right)^{1/2}, \quad a_0 \gg 1, \quad L < 0.3 R_0. \end{aligned} \quad (7)$$

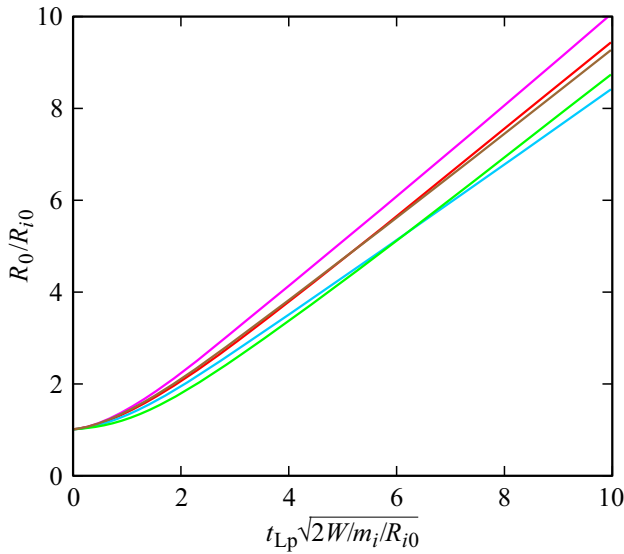
Сравнение 1-й и 2-й строк условий (7) показывает, что существует оптимальный радиус кластера  $R_0^* \approx \eta_{\Sigma}^{-1/3} \lambda / 2 \pi$ . Для максимального значения коэффициента поглощения (на рис. 2, а) и длине волны  $1 \mu\text{m}$  оптимальный радиус  $R_0^* \approx 200$  nm. Для получения оптимальной плотности кластера  $n_e(t_{Lp}) \approx 9 a_0 n_{cr}$  в условии (7) длительность предимпульса  $t_{Lp}$  и его интенсивность  $I_{Lp}$  должны удовлетворять следующему соотношению:

$$\begin{aligned} &\left( \frac{I \lambda^2}{1.37 \cdot 10^{18} \text{ W}(\mu\text{m}^2/\text{cm}^2)} \right)^{1/2} \\ &\times \left( 1 + 6 \left( \frac{\eta_{Lp} I_{Lp}}{\rho_0} \right)^{2/3} \frac{t_{Lp}^2}{R_0^2} \right)^{3/2} \approx \frac{Z n_{i0}}{9 n_{cr}}. \end{aligned} \quad (8)$$

Можно также отметить, что получение резонансной плотности и увеличение амплитуды поля осуществляется не только снижением плотности за счет предимпульса, но также искусственным снижением плотности (пористого) вещества и подбором максимальной степени ионизации атомов кластера, и это будет предметом следующей работы.

## Заключение

В настоящей работе рассмотрено влияние лазерного предимпульса на генерацию квазистационарного магнитного поля напряженностью до нескольких десятков GGs и существующего в фокальной перетяжке сверхмощного короткого лазерного импульса. Влияние предимпульса с высоким контрастом (не сопровождающимся существенным изменением плотности кластера) незначительно. Понижение контраста (увеличение интенсивности и длительности предимпульса) приводит к разлету кластера,



**Рис. 7.** Зависимость безразмерного радиуса кластера  $R_0/R_{i0}$  от безразмерной длительности предимпульса  $t_{Lp}\sqrt{2W/m_i}/R_{i0}$ , построенная по точной формуле (П2) — синяя, красная, зеленая кривые для  $\epsilon = 0, 0.5, 1$  и по аппроксимации (П5) — сиреневая, коричневая, голубая кривые для  $\epsilon = 0, 0.5, 1$ .

уменьшению его плотности и появлению резонанса между плазменной частотой электронов кластера и лазерной частотой. Резонанс приводит к значительному (в несколько раз) росту поглощения момента импульса циркулярно-поляризованного лазерного излучения и, следовательно, к росту момента импульса, магнитного момента и магнитного поля, генерируемых вращающимися электронами кластера. Магнитное поле возрастает в несколько раз по сравнению с кластером твердотельной плотности и достигает амплитуды десятков GGs при лазерной интенсивности  $10^{22} \text{ W/cm}^2$ , что превышает в несколько раз амплитуду лазерного поля. Таким образом, при заданных параметрах лазерного импульса для генерации магнитного поля максимальной амплитуды существует оптимальная плотность, достижение которой возможно с помощью выбора интенсивности и длительности (контраста) предимпульса. Градиент плотности с масштабом, меньшим  $\sim 30\%$  радиуса кластера, не влияет на амплитуду магнитного поля.

### Финансирование работы

Работа выполнена при поддержке гранта РФФ 23-22-00110. Результаты работы были получены с использованием вычислительных ресурсов суперкомпьютерного центра Санкт-Петербургского политехнического университета Петра Великого.

### Конфликт интересов

Авторы заявляют, что у них нет конфликта интересов.

## Приложение

Закон сохранения энергии (интеграл уравнения движения разлета иона на внешней границе кластера) под действием тепловых и кулоновских сил имеет вид

$$\frac{m_i}{2} \left( \frac{dR_0}{dt} \right)^2 + \frac{3Z_{Lp}T_{eLp}(1-k)R_{i0}^2}{R_0^2} + \frac{Z_{Lp}eQ}{R_0} = 3Z_{Lp}T_{eLp}(1-k) + \frac{Z_{Lp}eQ}{R_{i0}}. \quad (\text{П1})$$

В работе [19] в (П1) дополнительно учитывается энергия взаимодействия иона с образовавшейся электронной оболочкой кластера, что приводит к дополнительному слагаемому  $Q(R_0^2 - R_{i0}^2)/R_0^3$  в левой части (П1). В нашем случае из-за малости  $k$  и малости дебаевского радиуса электронов с температурой  $T_{rLp}$  влияние электронов учитывается тепловым ( $\sim T_{eLp}$ ) слагаемым в (П1). Параметрическое решение уравнения (П1) имеет вид

$$R(\xi) = R_{i0}(\epsilon/2 + (1 - \epsilon/2) \text{ch } \xi), \quad \xi \in [0; \infty[,$$

$$t(\xi) = \frac{R_{i0}}{\sqrt{2W/m_i}} ((1 - \epsilon/2) \text{sh } \xi + \epsilon\xi/2),$$

$$W = 3Z_{Lp}T_{eLp}(1-k) + \frac{ZeQ}{R_{i0}}, \quad \epsilon = ZeQ/WR_{i0}. \quad (\text{П2})$$

Параметр  $0 \leq \epsilon \leq 1$  в (П2) отвечает за соотношение между кулоновскими и тепловыми силами, ускоряющими внешнюю границу кластера. При преобладании тепловых сил ( $\epsilon = 0$ ) из (П2) следует

$$R) = \sqrt{R_{i0}^2 + c_s^2 t_{Lp}^2}, \quad c_s = \sqrt{6Z_{Lp}T_{eLp}(1-k)/m_i},$$

$$3T_{eLp}(1-k) \gg eQ/R_{i0}. \quad (\text{П3})$$

При преобладании кулоновских сил ( $\epsilon = 1$  в (П2)) из (П2) следует

$$R(\xi) = R_{i0} \text{ch}^2 \xi,$$

$$t_{Lp}(\xi) = \sqrt{\frac{m_{o1}R_{i0}^3}{8Z_{Lp}eQ}} (2\xi + \text{sh}(2\xi)), \quad \xi \in [0; \infty[,$$

$$3T_{eLp}(1-k) \ll eQ/R_{i0}. \quad (\text{П4})$$

Для практических оценок зависимости радиуса кластера от длительности предимпульса в интервале  $R_{i0} \leq R) \leq 10R_{i0}$  удобно воспользоваться простой аппроксимацией параметрической зависимости (П2):

$$R_0(t_{Lp}) \approx \sqrt{R_{i0}^2 + 2(1 - 0.3\epsilon)Wt_{Lp}^2/m_i},$$

$$n_e(t_{Lp}) = Z_{Lp}n_{i0} \left( \frac{R_{i0}}{R_0(t_{Lp})} \right)^3. \quad (\text{П5})$$

На рис. 7 приведено сравнение зависимостей безразмерного радиуса  $R_0/R_{i0}$  от безразмерной длительности предимпульса  $t_{Lp}\sqrt{2W/m_i}/R_{i0}$ , построенных по точной



формуле (П2) — синяя, красная, зеленая кривые для  $\varepsilon = 0, 0.5, 1$  и по аппроксимации (П5) — сиреневая, коричневая, голубая кривые также для  $\varepsilon = 0, 0.5, 1$ . Точности аппроксимации (П5) достаточно для оценки темпа разлета кластера под действием предимпульса в рассматриваемом в настоящей работе интервале радиусов  $R_{i0} \leq R_0 \leq 5R_{i0}$ .

## Список литературы

- [1] B.A. Remington, R.P. Drake, D.D. Ryutov. *Rev. Mod. Phys.*, **78**, 755 (2006).
- [2] Zs. Lecz, A. Andreev. *PRR*, **2**, 023088 (2020).
- [3] А.А. Андреев, К.Ю. Платонов. *Письма в ЖЭТФ*, **112** (9), 598 (2020).
- [4] А.А. Андреев, К.Ю. Платонов. *Квант. электрон.*, **51**, 446 (2021).
- [5] A.A. Andreev, K.Yu. Platonov, Zs. Lecz, N. Hafz. *Sci. Rep.*, **11**, 15971 (2021). DOI: 10.1038/s41598-021-95465-x
- [6] T. Fennel, K.-H. Meiwes-Broer, J. Tiggesbaumker, P.-G. Reinhard, P.M. Dinh, E. Suraud. *Rev. Mod. Phys.*, **82**, 1793 (2010).
- [7] M. Kalashnikov, A. Andreev, H. Schönagel. *AIP Conference Proceedings*, **1228** (1), 175 (2010).
- [8] K.B. Wharton, C.D. Boley, A.M. Komashko, A.M. Rubenchik, J. Zweiback, J. Crane, G. Hays, T.E. Cowan, T. Ditmire. *Phys. Rev. E*, **64**, 025401 (2001).
- [9] A.A. Andreev, R. Sonobe, S. Kawata. *Plasma Phys. & Control. Fusion*, **48**, 1605 (2006).
- [10] T. Ditmire, T. Donnelly, A.M. Rubenchik, R.W. Falcone, M.D. Perry. *Phys. Rev. A*, **53**, 3379 (1996).
- [11] <https://www.prism-cs.com/Software/Helios/overview.html>
- [12] М.В. Федоров. *ЖЭТФ*, **149** (3), 522 (2016).
- [13] <https://github.com/Warwick-Plasma/epoch>
- [14] V.P. Krainov, M.B. Smirnov. *Phys. Rep.*, **370**, 237 (2002). DOI: 10.1016/S0370-1573(02)00272-7
- [15] A.A. Andreev, A.N. Semakhin, V.V. Akulinichev. *Probl. Nauchn. Priborostr.*, **3**, 884 (1993).
- [16] А.А. Андреев, К.Ю. Платонов. *Квант. электрон.*, **51**, 446 (2021).
- [17] I. Kostyukov, J.-M. Raх. *Phys. Rev. E*, **67**, 066405 (2003).
- [18] Д.Ф. Зарецкий, Ф.Ф. Корнеев, С.В. Попруженко. *Квант. электрон.*, **37**, 565 (2007).
- [19] M.B. Smirnov, V.P. Krainov. *Laser Physics*, **13**, 490 (2003).
- [20] F. Brunel. *Phys. Rev. Lett.*, **59**, 52 (1987).
- [21] P. Gibbon, A.A. Andreev, K.Yu. Platonov. *Plasma Phys. Control. Fusion*, **54**, 045001 (2012). DOI: 10.1088/0741-3335/54/4/045001